Physik Hinweise zu den Kärtchen

Kern- und Teilchenphysik I

Die Kärtchen beziehen sich auf die Vorlesung von Felecitas Pauss, im SS 2007.

Erstellt von: Thomas Kuster, (2. Semester MSc, D-UWIS)

Verfügbar via: http://fam-kuster.ch

Leptonen und Quarks Eigenschaften:

- je Spin $\frac{1}{2} \Rightarrow$ Fermionen
- Es gibt keine Angeregte Zustände
- – 6 Leptonen, sowie 6 Antiteilchen dazu
 - 6 Quarks, sowie 6 Antiteilchen dazu

- Gravitation
- elektromanetische Wechselwirkung
- starke Wechselwirkung
- schwache Wechselwirkung

Wechselwirkungen

werden vermittelt durch? werden dargestellt durch?

Durch Austausch von Vektorbosonen (Teilchen mit Spin=1)

Gravitation?

elektromanetische WW Photon: Wellenlinie

starke WW Gluonen: Spirallinie

schwache WW W^+ -, W^- -, Z^0 -Bosonen: gestrichelte Linie

Welche Teilchen tragen welche Ladung

8		Antwort
elektrische Ladung	schwache Ladung	starke Ladung
		Farbladung, Farbe
Quarks	Quarks	Quarks
einige Leptonen (z. B. Elektron)	Leptonen	

Reichweite der Wechselwirkungen

Schwache Wechselwirkung reichweite ist sehr gering da

 $M_W \approx 80 \, {\rm Gev}/c^2$ und $M_Z \approx 91 \, {\rm Gev}/c^2$ sehr schwer ist und sie somit nach der Heisenberg'schen Unschärferelation nur für extrem kurze Zeit erzeugt werden.

Elektrische Wechselwirkung Photon hat Ruhemasse $0 \Rightarrow$ Reichweite ist ∞ .

Starke Wechselwirkung Gluonen habe Ruhemasse 0, jedoch Ladung daher könne sie untereinander koppeln ⇒ kurze Reichweite.

Definition:

Die Energie die ein Teilchen mit Ladung 1e beim Durchlaufen einer Potentialdifferenz von $1\,\mathrm{V}$ bekommt.

$$1 \,\mathrm{eV} = 1.602 \cdot 10^{-19} \,\mathrm{J}$$

in Atomphysik

$$4\pi\epsilon_0 = 1 \Rightarrow \alpha = e^2$$

in Teilchenphysik

$$\epsilon_0 = 1 \text{ und } \alpha = \frac{e^2}{4\pi}$$

Kern- und Teilchenphysik I Nuklide Bezeichnung

17

A Nukleonen

Z Protonen

N Neutronen

$${}_{Z}^{A}X_{N}$$

$$A = Z + N$$

In der Nuklidkarte sind folgende Geraden durch festhalten einer Variable gegeben:

A Isobar

 \mathbf{Z} Isotope

N Isotone

Kommen frei in der Natur vor:

 ${f e}$ Elektron, Positron

 μ

·

 ν_e

 u_{μ} ν_{τ}

Kommen nicht frei in der Natur vor:

u Up

d Down

s Strange

c Charm

b Bottom

t Top

"Elementarteilchen" welche asu Quakrs aufgebaut sind: Mesonen und Baryonen

 $\pi^+~(u\bar{d})$ $\pi^{-}(\bar{u}d)$ $K^{+}(u\bar{s})$

 $K^ (\bar{u}s)$

p (uud) Proton

n (udd) Neutron

 $\Lambda~(uds)$ Lambda

 Ω (sss)

Wechselwirkungen zwischen Grundbausteinen

Wechselwrikungen zwischen Grundbausteinen basieren auf dem Austausch eines Trägerteilchens:

Photon: γ elektromagnetische Wechselwirkung

W, Z schwache Wechselwirkung

Gluon starke Wechselwirkung

Einheiten werden verwendet?

Länge $1 \, \text{fm} = 10 \cdot 10^{-15} \, \text{m}$

Wirkungsquerschnitt (Fläche) $1 \text{ barn} = 1 \text{ b} = 10^{-28} \text{ m}^2$

Energie Elektronenvolt: $1 \text{ eV} = 1.6 \cdot 10^{-19} \text{ J}$

Für Masse und Inpuls folgt mit:

$$E^2 = p^2 c^2 + m^2 c^4$$

Masse eV/c^2

Impuls eV/c

 $\hbar, c, \hbar \cdot c, lpha, 1\,\mathrm{fm}$ Grösse und Bezeichung der Werte

34

Planck-Konstante $\frac{h}{2\pi} = \hbar = 6.582 \cdot 10^{-22} \,\mathrm{MeV \cdot s}$

Lichtgeschwindigkeit $c = 2.998 \cdot 10^8 \text{m/s}$

 $\hbar c \approx 200 \,\mathrm{MeV \cdot fm}$

Kopplungskonstante der elektromagnetischen Wechselwirkungen

$$\alpha = \frac{e^2}{4\pi\epsilon_0\hbar c} \approx \frac{1}{137}$$
 (ist keine Konstante)

$$1 \, \mathrm{fm} \, \approx 5 \, \frac{1}{\mathrm{GeV}} \approx \frac{1}{200 \, \mathrm{MeV}}$$

$$\hbar = c = 1$$

$$\begin{array}{rcl}
1 \, \text{kg} & = & 5.607 \cdot 10^{26} & \text{GeV} \\
1 \, \text{m} & = & 5.068 \cdot 10^{15} & \frac{1}{\text{GeV}} \\
1 \, \text{s} & = & 1.519 \cdot 10^{24} & \frac{1}{\text{GeV}}
\end{array}$$

SI-Einheiten verwenden und Konstanten mitführen!

Energien

Übliche Energien und ihre physikalische Interpretationen

Energie	Physikalische Interpretation
	Energieskala des/der
eV	e in äusserer Elektronenschale im Atom
keV	e in innerer Elektronenschale im Atom
MeV	n, p im Atomkern
${\rm GeV}$	Quarks im Proton
${ m TeV}$	zukünftigen Beschleunigers LHC am CERN

$$E_{CM} = \sqrt{s}$$

42

Antwort

Reaktionsschema:

$$a+b \longrightarrow c+d$$

Lorentz-invariant:

$$s = M^2 c^4 = (E_a + E_b)^2 - (\vec{p_a} \vec{p_b})^2 c^2$$

mit M Gesamtmasse des System a, b Gesamtenergie im CM-System)²

$$s = (E_a^{CM} + E_b^{CM})^2 = (E^C M)^2$$

Für: $E_{a,b} \gg m_a c^2$, $m_b c^2$ d. h. $E_{a,b} \approx |\vec{p_{a,b}}|$ Stationäres Target: $\sqrt{s} = \sqrt{2E_a^{LAB}m_bc^2}$ Speicherring: $\sqrt{s} = \sqrt{4E_aE_b}$ falls $E_a \approx E_b \Rightarrow \sqrt{s} = 2E \rightarrow$ effiziente Nutzung der Strahlenergie.

Information über räumliche Form des Objekt an dem gestreut wird, bzw. des Wechselwirkungs-Potentials: Variation der Streudaten mit E_{Strahl} und Streuwinkel.

De-Broglie Wellenlänge

De-Broglie Wellenlänge: $\frac{\lambda}{2\pi}$

$$\frac{\lambda}{2\pi} = \frac{\hbar}{|\vec{p}|} = \frac{\hbar c}{\sqrt{2mc^2 E_{kin} + E_{kin}^2}}$$

Auflösung von linearer Ausdehnung

Auflösung von linearer Ausdehnung: Δx : $\frac{\lambda}{2\pi} \leq \Delta x$

$$|\vec{p}|c \ge \frac{\hbar c}{\Delta c} \approx \frac{200 \,\mathrm{MeV} \cdot \mathrm{fm}}{\Delta x}$$

Wirkungsquerschnitt

Erklärung des Begriffs

Mass für die Wahrscheinlichkeit einer Reaktion (damit Mass für die Stärke der Wechselwirkung)

Abhängig von der Art der kollidiernden Teilchen und der Kräfte, die zwischen ihnen wirken.

Geometrischer Reaktionsquerschnitt

$$\sigma_b = \frac{\dot{N}}{\Phi_a \cdot N_b}$$

Mit:

Gesamtzahl der Targetteilchen: $N_b = n_b Ad$

Fluss: $\Phi_a = \frac{\Delta N_a}{\Delta t A} = \frac{\dot{N}}{A} = n_a v_a$ mit: $v_a = \frac{\Delta N_a}{\Delta x A} = \frac{\Delta N_a}{\Delta V}$

Reaktionsrate: $\dot{N} = \Phi_a N_b \sigma_b$

Frontfläche: A, Dicke: d, σ_a überlagern sich nicht

Totaler Wirkungsquerschnitt

$$\sigma_{tot} = \frac{Reaktionsrate}{Fluss \cdot Zahl \ der \ Streuzentren}$$
$$\sigma_{tot} = \sigma_{elastisch} + \sigma_{inelastisch}$$

 $[\sigma] = L^2$: hat die Dimension einer Fläche (1 barn = 1 b = 10^{-28} m²)

Differentieller Wirkungsquerschnitt

$$\frac{d\sigma(\theta)}{d\Omega}$$

$$\sigma_{tot} = \int \frac{d\sigma(\theta)}{d\Omega} d\Omega$$

$$\mathcal{L} = \Phi_a \cdot N_b \Rightarrow \dot{N} = \sigma \cdot \mathcal{L}$$

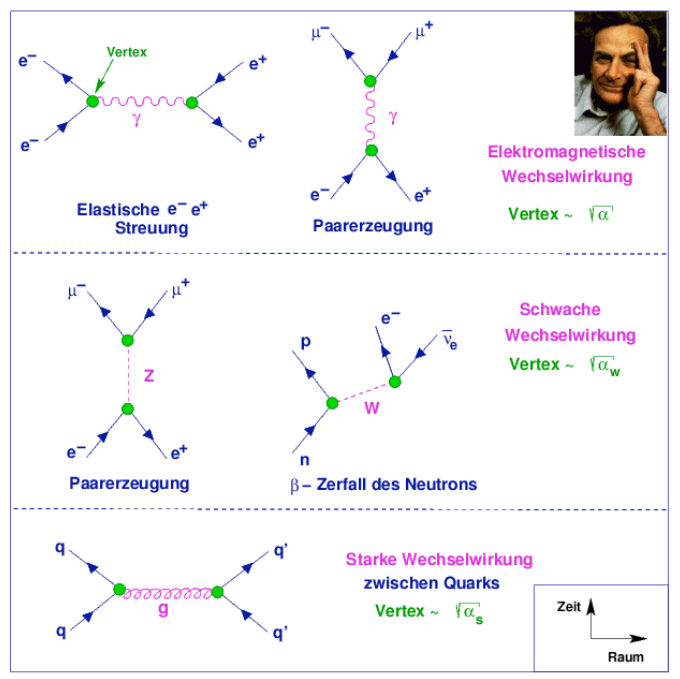
Im Speicherring:

$$\mathcal{L} = \frac{N_a N_b u}{A}$$

mit:

u: Umlauffrequenz mal Zahl der Teilchenpakete (u = fn)

A: Strahlquerschnitt



Elektronen-Synchrotron

Wichtige Begrenzung

Synchrotronstrahlung: e^- emittiert Strahlung, wenn es durch eine Kraft auf einer Kreisbahn gehalten wird.

Pro Umlauf vom e^- abgestrahlte Energie:

$$\Delta E = \frac{4\pi}{3} \frac{\alpha \hbar c \beta^3 \gamma^4}{R}$$

mit:

R: Krümmungsradius

 $\beta = \frac{v}{c}$: Teilchengeschwindigkeit

$$\gamma = \frac{1}{\sqrt{1-\beta^2}}$$
: Lorentzfaktor

Für hochenergetische $e^+, e^- \ (\beta \approx 1)$:

$$\Delta E[\text{GeV}] \approx 9 \frac{(E[\text{GeV}])^4}{R[\text{km}]} \cdot 10^{-8}$$

Bemerkung: für relativistische Protonen (Masse M) und relativistische Elektronen (Masse m) mit demselben Impuls: $\Delta E \approx (\frac{m}{M})^4 \longrightarrow$ für Protonen $\approx 10^{13}$ mal kleiner!

Absorption von γ Strahlung in Materie

Photoeffekt:

Compton Streuung:

Paarbildung:

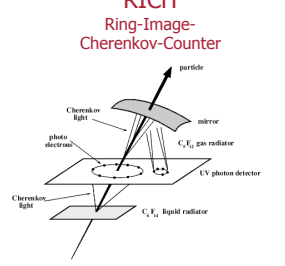
Geladenes Teilchen mit $v \approx c$ in Medium mit Brechnugsindex: n > 1:

$$v > \frac{c}{n}$$

 \longrightarrow Angeregtes Atom sendet Licht aus, dessen Wellenfront unter festem Winkel relativ zur Teilchenbahn ist (wie eine schiessende Ente im Wasser). Photonen werden in einem Kegel mit festem Winkel θ um die Bahn des geladenen Teilchens emittiert.

$$\cos \theta = \frac{1}{\beta n}$$

Energieverlust durch C-Strahlung klein gegenüber Ionistationsverlust. Aufbau der Messung:



Ziel: Sichtbar machen von Teilchendurchgang \to Messung von Spuren Rekonstruiere die Flugbahn anhand der gemessenen Punkte im Raum Extrahiere Infromation über Impuls

Beachte: Das Teilchen sollte nicht stark vom Detektor(-Material) beeinflusst werden, d. h. keine Materialien mit hohen Dichten. Signale auf Grund von Ionisation:

Geiger-Müller-Zähler, MWPC (Multi-Wire Proportional Chambers), DC (Drift Chamber), TPC (Time Projection Chamber), Siliczium Detektoren (Strips, Pixel), Bubble-, spark-chambers (früher)

Signale auf Grund von Szintillationslicht:

z. B. scintillating fibers, liquids

70 Antwort TODO

80 Antwort

Erfordert in der Regel eine vollständige Absorption der Teilchen in einem Medium.

Absorbierte Energie kann umgewandelt werden in:

Signale \propto ursprüngliche Energie des Teilchens $\begin{cases} \text{Ionisation} \\ \text{Anregung von Atomen} \\ \text{Cherenkovlicht} \end{cases}$

Grosse Detektorensysteme

82 Antwort

Kombiniere verschiedene Detektortypen/Technologien zu einem grossen Detektorsystem, das aus Detektorenlagen besteht.

$$m(Z,A) = Zm_H + (A-Z)m_n - a_V A + a_S A^{\frac{2}{3}} + a_C Z^2 A^{-\frac{1}{3}} + a_A \frac{\left(Z - \frac{A}{2}\right)^2}{A} + \begin{cases} +\delta \\ 0 \\ -\delta \end{cases}$$

Volumenenergie (a_VA): Kondensationsenergie die frei wird, dominater Term, erklärt die Näherung: $m(Z,A) = Zm_H + (A-Z)m_n - B/A(???)$ Oberflächenenergie ($-a_SA^{\frac{2}{3}}$): Nukleonen an der Oberfläche sind weniger stark gebunden.

Coulombenergie $(-a_C Z^2 A^{-\frac{1}{3}})$: Coulombabstossung zwischen den Protonen.

Asymmetrieenegrie $\left(-a_A \frac{\left(Z - \frac{A}{2}\right)^2}{A}\right)$: Wird veringert wenn $Z \neq N$ Paarungsenergie $\left\{ \begin{cases} +\delta & \text{gg - Kerne} \\ 0 & \text{ug, gu - Kerne} \end{cases} : \delta \approx a_P A^{-\frac{1}{2}}$

86 Antwort

Zahlenwerte für N und Z

N: 2 8 20 28 50 82 126 (184) (196)

Z: 2 8 20 28 50 82 (114) (164)

Die Werte in Klammern wurden theoretisch berchnet, aber noch nicht empirisch gemessen, bzw. bewiesen.